

Investigating the effects of buforin II coding gene on the expression of lncRNAs PVT1, EGOT and LINC00312 in kidney cancer cell line

Maryam Amiri-Farsani¹ , Abbas Doosti^{2*} 

¹ Dept of Biology, Faculty of Basic Sciences, Shahrekord Branch, Islamic Azad University, Shahrekord, Iran

² Biotechnology Research Center, Shahrekord Branch, Islamic Azad University, Shahrekord, Iran

Article Info

Article type:
Research article

Article History:
Received: Oct. 01, 2023
Revised: Dec. 14, 2023
Accepted: Jan. 08, 2024
Published Online: Jun. 15, 2024

*** Correspondence to:**

Abbas Doosti
Biotechnology Research
Center, Shahrekord Branch,
Islamic Azad University,
Shahrekord, Iran
Email:
bio.gene84@gmail.com

A B S T R A C T

Introduction: Renal cell carcinoma (RCC) is the most common type of kidney cancer in adults. The aim of this study is to investigate the effects of the buforin II gene on the expression of lncRNAs PVT1, EGOT and LINC00312 in ACHN kidney cancer cells.

Material & Methods: Recombinant plasmid pcDNA3.1(+) containing buforin II gene and empty plasmid pcDNA3.1(+) were introduced into E.coli strain TOP10 by heat shock method and then purified. Then both mentioned plasmids were introduced into ACHN cells by lipofection method and screening was done by neomycin antibiotic. Finally, real time RT-PCR reaction was performed in order to investigate the expression change of EGOT, PVT1 and LINC00312 lncRNAs.

Results: After lipofection, the transfected cells grew in the culture medium containing neomycin antibiotic. The real time RT-PCR reaction showed that the expression of buforin II gene in ACHN kidney cancer cells caused a significant increase in the expression of lncRNAs EGOT ($P=0.0033$) and LINC00312 ($P=0.0272$) and a significant decrease in the expression of PVT1 ($P=0.0278$).

Discussion & Conclusion: Considering that the presence of buforin II gene causes a significant change in the expression of lncRNAs EGOT, PVT1 and LINC00312, it is possible that it can activate cell pathways including apoptosis.

Keywords: Renal cell carcinoma, buforin II, ACHN cell line

➤ **How to cite this paper**

Amiri-Farsani M, Doosti A .Investigating the effects of buforin II coding gene on the expression of lncRNAs PVT1, EGOT and LINC00312 in kidney cancer cell line. Journal of Ilam University of Medical Sciences. 2024;32(2): 32-43.



© The Author(s)

Publisher: Ilam University of Medical Sciences

بررسی آثار ژن کدکننده II buforin، PVT1 و EGOT بر بیان lncRNAهای LINC00312 در رده سلولی سرطان کلیه

مریم امیری فارسانی^۱ ، عباس دوستی^۲ 

^۱ گروه زیست‌شناسی، دانشکده علوم پایه، واحد شهرکرد، دانشگاه آزاد اسلامی، شهرکرد، ایران

^۲ مرکز تحقیقات بیوتکنولوژی، واحد شهرکرد، دانشگاه آزاد اسلامی، شهرکرد، ایران

اطلاعات مقاله	چکیده
نوع مقاله: پژوهشی	مقدمه: کارسینوم سلول کلیوی (RCC) شایع ترین نوع سرطان کلیه در بزرگسالان است. هدف از مطالعه حاضر بررسی آثار ژن کدکننده II buforin، PVT1 و EGOT بر بیان lncRNAهای LINC00312 در سلول‌های سرطان کلیه رده ACHN است.
تاریخ دریافت: ۱۴۰۲/۰۷/۰۹	مواد و روش‌ها: پلاسمید نوترکیب (+) pcDNA3.1 buforin II و پلاسمید خالی (+) به روشن شوک حرارتی وارد باکتری E.coli سویه TOP10 شدند و سپس تخلیص گردیدند. پس از آن، هر دو پلاسمید به روش لیپوفکشن وارد سلول‌های ACHN شدند و غربالگری توسط آنتی‌بیوتیک نومایسین انجام گرفت. درنهایت، واکنش real time RT-PCR به منظور بررسی تغییر بیان lncRNAهای LINC00312، EGOT و PVT1 انجام گردید.
تاریخ ویرایش: ۱۴۰۲/۰۹/۲۳	یافته‌های پژوهش: پس از لیپوفکشن، سلول‌های ترانسفکتد شده در محیط کشت حاوی آنتی‌بیوتیک نومایسین رشد کردند. واکنش real time RT-PCR نشان داد که بیان ژن buforin II در سلول‌های سرطان کلیه رده ACHN سبب افزایش بیان معنی‌دار lncRNAهای LINC00312 (P= 0.0033) و EGOT (P= 0.0272) و کاهش بیان معنی‌دار PVT1 (P=0.0278) شد.
تاریخ پذیرش: ۱۴۰۲/۱۱/۰۸	بحث و نتیجه‌گیری: با توجه به اینکه حضور ژن buforin II باعث تغییر بیان معنی‌دار lncRNAهای EGOT و PVT1 و LINC00312 می‌شود، احتمال می‌رود که بتواند مسیرهای سلولی از جمله آپوزیز را فعال کند.
تاریخ انتشار: ۱۴۰۳/۰۲/۲۶	واژه‌های کلیدی: کارسینوم سلول کلیه، buforin II، رده سلولی ACHN

استناد: امیری فارسانی مریم، دوستی عباس. بررسی آثار ژن کدکننده II buforin، PVT1 و EGOT بر بیان lncRNAهای LINC00312 در رده

سلولی سرطان کلیه. مجله دانشگاه علوم پزشکی ایلام، خرداد ۱۴۰۳؛ ۲(۳۲): ۴۳-۳۲.



مقدمه

سرطان یک بیماری ژنتیکی است که درنهایت، زایدۀ آثار عوامل محیطی است. در سال ۲۰۱۰، بیش از ۵۰,۰۰۰,۰۰۰ نفر به سرطان مبتلا و در حدود ۷,۰۰۰,۰۰۰ یعنی درصد از آن‌ها دچار مرگ شدند. از سال ۲۰۱۱ به بعد، سرطان از نظر مرگ‌ومیر رتبه اول جهانی را داشته است، در حالی که پیش از آن، بیماری‌های قلب و عروق مقام اول را به خود اختصاص می‌داد (۱). سرطان‌ها به علت نبود عملکرد صحیح DNA در سلول‌ها پدید می‌آیند و درواقع، علت اصلی آن به‌سبب تغییرات و اختلالاتی است که در ژن‌های دخیل در کنترل رشد سلول‌ها به وجود می‌آیند (۲). سرطان کلیه شایع ترین بدخیمی دستگاه ادراری است و نوع اپیتلیوم کلیوی با نام کارسینوم سلولی کلیه یا RCC بیشترین آمار ابتلا را دارد. RCC به ترتیب نهمین و چهاردهمین سرطان رایج در مردان و زنان و شانزدهمین علت مرگ بر اثر سرطان در سرتاسر جهان است. با توجه به پیشرفت برنامه‌های غربالگری بیماران مبتلا به RCC مشخص شده است که شیوع این سرطان در جهان در حال افزایش است. بالاترین میزان بروز را می‌توان در کشور های توسعه‌یافته و اغلب اروپای شمالي و شرقی و آمریکای شمالی یافت (۳-۵). در ایالات متحده، در هر سال ۶۴,۰۰۰ مورد جدید RCC و ۱۴,۰۰۰ مرگ‌ومیر ناشی از RCC وجود دارد. عوامل مهمی که در این بیماری نقش دارند؛ عبارت‌اند از: نژاد، سن و جنسیت. در مردان بالای ۶۰ سال RCC شایع تر است و بیشترین میزان آن در دهه‌های ۶۰ تا ۸۰ زندگی است (۳). به علت موارد یادشده، کنترل و درمان RCC مورد توجه دانشمندان قرار دارد (۴). سرطان کلیه بیماری پیچیده‌ای است که در آن، بیان ژن به صورت نامتعادل صورت می‌گیرد. شواهد نشان داده‌اند که بخش چشم‌گیری از عامل‌های مستعد کننده به سرطان را نمی‌توان به تغییر در توالی‌های کدکننده پروتئین نسبت داد. شناسایی شمار بسیاری از lncRNA‌ها در انسان به پرده‌داری از جایگاه این مولکول‌ها در آسیب‌شناسی سرطان و نقش آن‌ها به عنوان اجزای مهم در تومورزایی، کمک شایانی کرده است. lncRNA رونوشت انتوژنی گرانول اثوزینوفیل (EGOT) در p26.1۳ قرار دارد.

مواد و روش‌ها

مطالعه حاضر با کد اخلاق

مطالعات نشان داده است که EGOT در پاسخ به سیگنال‌های استرس القامی شود و به عنوان تنظیم کننده مثبت مسیرهای NF-κB و PI3K/AKT عمل می‌کند (۵). LINC00312 که به نام NAG7 نیز نامیده می‌شود، به عنوان یک ژن جدید سرکوبگر تومور در انواع مختلف سرطان، شناسایی شده است (۶). PVT1 به عنوان یک انکوژن شناسایی شده است و همچنین در متاستاز RCC افزایش بیان دارد (۷). علی‌رغم پیشنهادها و درمان‌های اخیر به منظور درمان این سرطان، میزان عود تومور بسیار است که به همین علت شیمی‌درمانی نیز استفاده می‌گردد؛ بنابراین، برای درمان سرطان و همچنین کاهش عود آن، نیاز چشمگیر به فناوری‌های جدید وجود دارد. بیشتر پیتیدهای ضدسرطانی به طور انتخابی سلول‌های سرطانی را می‌کشند، به این صورت که با اختلال در غشاء سلول یا نفوذ و تورم در میتوکندری سلول، سبب مرگ سلول سرطانی می‌شوند. اعتقاد بر این است که با جاذبه الکترواستاتیکی میان اجزای غشاء (با بار منفی) سلول‌های سرطانی و پیتیدهای ضدسرطان کاتیونی، فرایند مرگ سلولی کلید می‌خورد (۸). buforin II یک پیتید ضدمیکرووی قوی با ۲۱ آمینواسید است که در یک محیط آب گریز، یک ساختار آمفی‌پاتیک مشکل از یک ناحیه سیم‌پیچ تصادفی ترمینال N، یک ناحیه مارپیچ، یک لولا و یک منطقه آلفا هلیکس در C ترمینال تشکیل می‌دهد (۹) و به طور انتخابی، سلول‌های سرطانی را از طریق تعامل با گانگلیوزیدهای سطح سلولی هدف قرار می‌دهد؛ سپس buforin II غشای سلول‌های سرطانی را بدون آسیب رساندن به آن‌ها طی می‌کند و آپوپتوز وابسته به میتوکندری را القا می‌نماید (۱۰).

با توجه به رشد روزافزون مبتلایان به سرطان، شناسایی مسیرهای مختلف برای کنترل و درمان این بیماری نیاز مبرم جامعه جهانی است؛ بدین علت، هدف از مطالعه حاضر بررسی تأثیر ژن II buforin در تغییر بیان lncRNAهای PVT1 و LINC00312 در سلول‌های رده سرطانی کلیه است.

باید توجه داشت همهٔ یتک‌ها عالمت بخورند و سپس Quary BY Gene انتخاب گردید و نام ژن نوشته و گزینه Qyary Gene انتخاب شد. بدین ترتیب اسمای lncRNA‌های به دست آمده در پایگاه داده Cbioportal کمی گردید و lncRNA‌هایی که بالاترین Alternation را داشتند، کاندید شدند. فرمت FASTA lncRNA هر چیزی است که با پایگاه داده LncDisease داده شد و lncRNA‌های دارای پروفایل یانی بالاتر انتخاب گردید. مواد، باکتری، سلول و کیت‌ها: در این مطالعه، پلاسمید نوترکیب II (+)-buforin pcDNA3.1(+) az شرکت Generay دست‌خورده (خالی) (pcDNA3.1(+)) از شرکت Biotech Co. Ltd ژن هدف buforin II (با طول ۸۷ جفت باز) در تابعیت EcoRI-XbaI کلون شد و برای بیان بهتر در میزان یون کاریوتی توسط این شرکت بهینه‌سازی کدون صورت پذیرفت. صحبت سنتز ژن‌های هدف با هضم آنزیمی توسط شرکت سازنده تأیید گردید؛ همچنین از باکتری E. coli سویهٔ TOP10 برای تکثیر پلاسمیدهای نامبرده بهره گرفته شد. شایان ذکر است که کیت استخراج پلاسمید (یکتا تجهیز آزمایشگاهی، ایران) برای تخلیص پلاسمیدها از باکتری E. coli به کار رفت. سلول رده سرطان کلیه با نام ACHN (بانک سلولی ایران) برای انجام مطالعات آزمایشگاهی استفاده گردید. برای انجام واکنش PCR و real time RT-PCR، از مواد و واکنش‌گرهای شرکت یکتا تجهیز آزمایشگاهی بهره گرفته شد.

نکثیر و استخراج وکتور نوترکیب: باکتری E. coli سویهٔ TOP10 از انسیتو پاستور ایران (تهران، ایران) خریداری و در محیط کشت (LB) Luria-Bertani (مرک، آلمان) کشت گردید و سپس به مدت یک شب در دمای ۳۷ درجه سانتی گراد در انکوباتور شیکردار (۱۸۰ دور در دقیقه) انکوبه شد. پلاسمید نوترکیب نامبرده و پلاسمید خالی با استفاده از روش کلرید کلسیم (۱/۰ مولار) و شوک حرارتی (۴۲ درجه سانتی گراد برای ۹۰ ثانیه) به درون سلول‌های باکتریابی ترانسفورم گردید. کلونی‌های ترانسفورم شده در محیط کشت LB آگار، حاوی آمپیسیلین (۳۰ میلی‌گرم در میلی‌لیتر) رشد کردند و انتخاب شدند. صحبت انجام ترانسفورماسیون با

IR.IAU.SHK.REC.1402.014 در دانشگاه آزاد اسلامی واحد شهرکرد انجام شده است.

مطالعات in silico به منظور شناسایی پروفایل یانی ژن‌های دخیل در پیشرفت و پاتوژنیس سرطان کلیه، از پایگاه‌های داده آنلاین استفاده شد. برای این هدف، با استفاده از پایگاه داده OMIM (omim.org) داده‌های سرطان کلیه دانلود گردید. OMIM یک پایگاه داده برای ژن‌های انسانی و اختلالات ژنتیکی است و اطلاعات همهٔ آنالیزهای کلینیکی معتبر در این سایت ادغام شده‌اند؛ به عنوان مثال، پس از جستجوی واژهٔ کلیدی سرطان کلیه در این سایت، اطلاعات به شکل فایل اکسل دانلود گردید که در این فایل هم می‌توان به ID ژن‌ها و هم به نام ژن‌های دخیل در سرطان کلیه دسترسی داشت. در سرطان کلیه در ۸۶۱۴ مورد نتیجه یافت شد. در ادامه، ID‌های به دست آمده از مرحلهٔ پیش در سایت enrichr جستجو و عملکرد ژن‌ها بررسی گردید. ژن‌های دخیل در پیشرفت و پاتوژنیس سرطان کلیه کاندید شدند؛ سپس از پایگاه داده HUGO (genename) استفاده گردید. این سایت یک مجموعه از سازمان ژنوم انسانی است که استانداردهای نام‌گذاری ژن‌های انسانی را تعیین می‌کند. در ادامه، مسیر کاندید کردن lncRNA از این سایت استفاده شد، به این صورت که از بخش lncRNA وارد بخش biomart lncRNA انتخاب شد و سپس گزینهٔ Gene انتخاب گردید. در این قسمت، با ID Locus group = non-Drnها در بخش Locus type = lncRNA coding اسامی lncRNA اینها از پایگاه داده OMIM دانلود شد. همهٔ lncRNA‌های دخیل در ایجاد و پیشرفت سرطان کلیه استخراج گردید. پس از آن، lncRNA‌ها در گام اول در پایگاه داده cbioportal lncRNA Disease در پایگاه داده lncRNA Disease بررسی و همهٔ اطلاعات مربوط به آن‌ها استخراج شد و میزان تغییرات بیان lncRNA‌های کاندید در سرطان کلیه به صورت کمی گزارش گردید. در سایت cbioportal اسم سرطان وارد شد.

(بدون آنتی بیوتیک و FBS) به سلول‌ها افروده گردید. پلیت کشت در دمای ۳۷ درجه سانتی گراد با فشار ۵ درصد CO₂ به مدت ۴ ساعت انکوبه شد و سپس FBS به چاهک ها اضافه گردید و پلیت کشت مجدد به مدت ۲۴ ساعت در همان شرایط انکوبه شد. محیط کشت حاوی ۶۰۰ میکرو گرم در میلی لیتر (۱۲) نومایسین برای غربالگری سلول‌های ترانسفکت شده از غیر ترانسفکت شده اضافه گردید و به مدت ۷۲ ساعت سلول‌ها انکوبه شدند. نشانگر انتخابی وکتور (+) مقاومت نسبت به آنتی بیوتیک نومایسین است. در واقع، سلول‌های دریافت کننده وکتور زنده می‌مانند و سلول‌هایی که ترانسفکت نشده باشند، در حضور نومایسین از بین می‌روند. سرانجام سلول‌های هر گروه با استفاده از ۰/۲۵ درصد آنزیم Trypsin-EDTA (ترموفیشر، آمریکا) جدا گردیدند و در محیط کشت با ۱۰ FBS درصد کشت شدند.

استخراج RNA و سنتر cDNA: RNA تام سلولی در هر دو گروه ترانسفکت شده با وکتور نوترکیب (گروه تیمار و وکتور خالی (گروه کنترل)، با استفاده از محلول RNX-Plus (سینا کلون، ایران) بر اساس دستورالعمل شرکت سازنده استخراج گردید و DNA مکمل (cDNA) با استفاده از کیت سنتر cDNA (یکتا تجهیز آزمایشگاهی، ایران) و پرایمرهای رندوم هگزامر سنتر شد. به منظور تأیید صحت واکنش ترانسفکشن، واکنش RT-PCR با پرایمرهای اختصاصی ژن buforin II روی cDNA سنتر شده صورت گرفت. محصول PCR حاصل از فعالیت دو پرایمر F و R یک قطعه ۸۷ جفت بازی خواهد بود.

بررسی میزان بیان ژن‌ها: از روش real time RT-PCR برای ارزیابی تغییرات بیان ژن‌های گروه تیمار (سلول‌های ترانسفورم شده با پلاسمید (pcDNA3.1(+)-buforin II در مقایسه با گروه کنترل (سلول‌های ترانسفورم شده با وکتور خالی) استفاده گردید. جزئیات پرایمرهای استفاده شده در جدول شماره ۱ ذکر شده است.

استفاده از روش PCR به کمک پرایمرهای اختصاصی تأیید گردید. کلونی‌های ترانسفورم شده در ۵ میلی لیتر محیط کشت LB Broth حاوی آمبی سیلین در انکوباتور شیکردار ۱۸۰ دور در دقیقه) به مدت یک شب در دمای ۳۷ درجه سانتی گراد کشت شدند. DNA پلاسمیدی با استفاده از کیت استخراج پلاسمید یکتا تجهیز آزمای طبق دستورالعمل کیت، خالص سازی گردید. کیفیت پلاسمیدهای استخراج شده توسط نانودرایپ (ترموساینتیفیک ۲۰۰۰، آمریکا) در طول موج ۲۸۰/۲۶۰ نانومتر اندازه گیری شد (۱۱).

کشت سلول و دستورالعمل سلول‌ها: رده سلولی ACHN با کد سلولی C206 از انستیتو پاستور ایران (تهران، ایران) خریداری گردید و در فلاسک کشت بافت، حاوی محیط ۱۶۴۰ RPMI (بیوایده، ایران) غنی شده با ۱۰ درصد سرمه جنین گاوی (FBS، بیوایده، ایران) و ۱۰۰ واحد آنتی بیوتیک پنی سیلین/استرپتومایسین در هر ۱ میلی لیتر کشت شد. فلاسک در انکوباتور در دمای ۳۷ درجه سانتی گراد و در فشار ۵ درصد CO₂ تا زمانی که سلول‌ها به تراکم ۸۰-۷۰ درصد برسند، انکوبه گردید. به منظور انجام ترانسفکشن (انتقال وکتور ACHN در ۳ خانه از پلیت ۶ خانه‌ای مخصوص کشت شدند. در مجموع، دو گروه سلولی ترانسفکشن گردیدند: ACHN ترانسفکت شده با پلاسمید ACHN pcDNA3.1(+)-buforin II (گروه تیمار)، سلول ترانسفکت شده با پلاسمید خالی (گروه کنترل) و خانه سوم شامل سلول‌هایی بودند که هیچ گونه پلاسمید دریافت نکرده بودند (گروه شاهد). سلول‌ها با استفاده از لیپوفکتمین ۲۰۰۰ (شرکت ترموفیشر، آمریکا) با توجه به دستورالعمل شرکت سازنده، با پلاسمیدهای نامبرده ترانسفکت شدند. به طور خلاصه، 0.3×10^6 سلول در خانه‌های پلیت ۶ خانه کشت گردید. پس از ۲۴ ساعت (هنگامی که سلول‌ها به تراکم ۷۵-۵۰ درصد رسیدند)، مخلوط حجمی حجمی لیپوفکتمین ۲۰۰۰ (۷/۵ میلی گرم در هر چاهک) و پلاسمید ۲/۵ میلی گرم در هر چاهک) در حجم نهایی ۳۰۰ μL از محیط کشت

Gene	Primer sequence	Anneling Temperatur	Siz bp
GAPDH	GAPDH-F: 5'-GCCAAAAGGGTCATCATCTCTGC-3' GAPDH-R: 5'-GGTCACGAGTCCTCCACGATAC-3'	60	183
EGOT	EGOT-F: 5'-AGATGGTGATGGAAACGAGC-3' EGOT-R: 5'-CCTGTTCATAGGCCCTGATG-3'	60	107
LINC00312	LINC00312-F: 5'-AAGCGAACCAAGCCAATAAG-3' LINC00312-R: 5'-AATGAGGAAATGTACCACCC-3'	60	161
PVT1	PVT1-F: 5'-CCTTGGTGTTCCCCCTTTACTGC -3' PVT1-R: 5'-AACATGGTGAAACCCCGTCTCTAC -3'	60	225
buforin II	Bufo-F: 5'-ATGACAAGAAGCAGCAGAGCC- 3' Bufo-R: 5'-CTTTCTCAGCAGTCTGTGCACTC -3'	60	66

مقایسه هر ژن هدف و ژن مرجع ارزیابی شد (۱۳).

تجزیه و تحلیل آماری: همه آزمون‌های انجام شده به صورت سه بار تکرار بودند و نتایج آزمون آماری توصیفی به شکل میانگین \pm انحراف معیار ارائه گردید. برای بررسی وجود داشتن یا نداشتن ارتباط معنادار از آزمون t-test استفاده شد. نمودارها به کمک نرم‌افزار GraphPad Prism رسم گردید و همه داده‌ها به صورت میانگین \pm انحراف معیار در سطح معنی‌داری کمتر از 0.05 در نظر گرفته شد (۱۴).

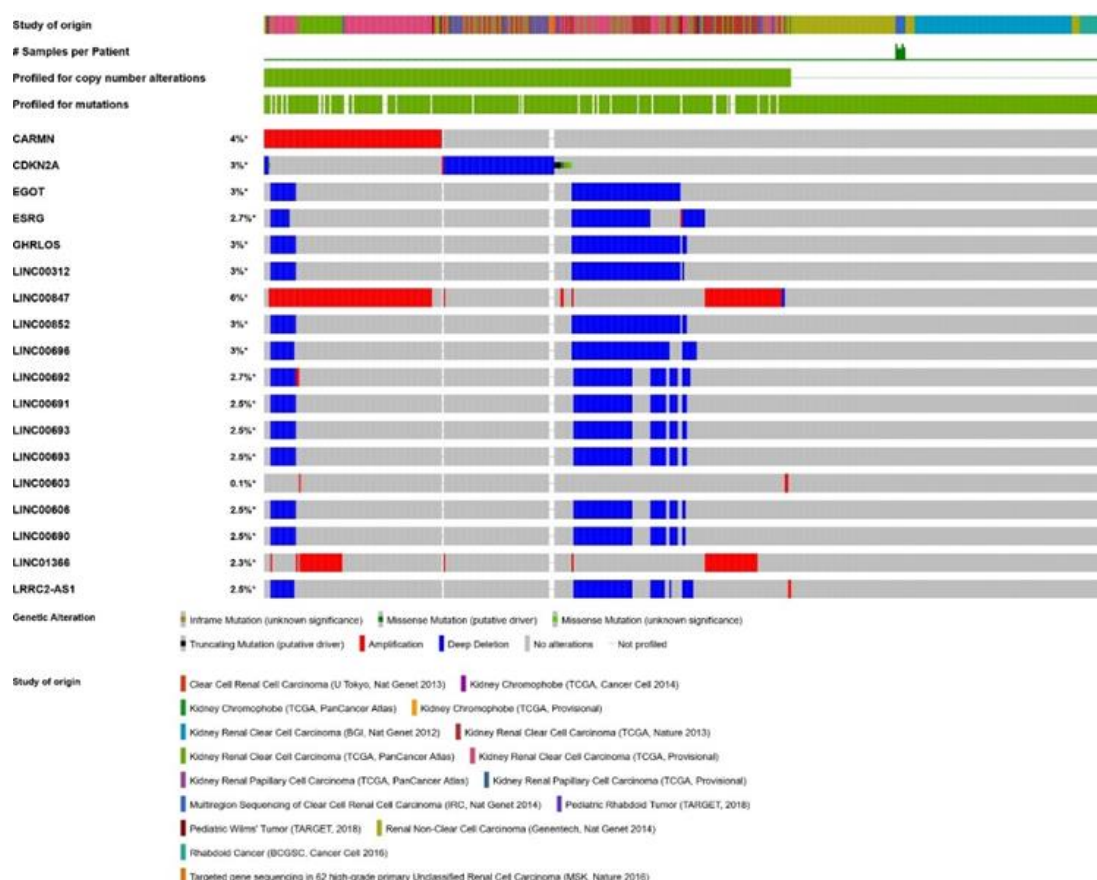
یافته‌های پژوهش

نتایج مربوط به شناسایی ژن‌ها با بیان متغیر: به منظور شناسایی IncRNA‌های مهم و دخیل در پیشرفت و توسعه سرطان کلیه از ابزارهای بیوانفورماتیکی از جمله پایگاه‌های داده آنلاین استفاده گردید. همان‌طور که گفته شد، از یک پایگاه داده برای پیش‌بینی differentially expression ژن‌ها استفاده گردید و IncRNA‌های سرطان کلیه تعیین شدند. نماد HUGO Gene از پایگاه داده IncRNA ها و نام هر IncRNA اخذ گردید. اسامی Namenclature Committee IncRNA

ژن GAPDH به عنوان ژن مرجع داخلی استفاده شد. cDNA هر گروه در رقت سریال های ۱:۵، ۱:۲۵ و ۱:۳۱۲۵ تهیه گردید. حجم نهایی برای هر واکنش ۱۳ μL بود که حاوی ۱ μL از هر cDNA نمونه (۵۰ نانو گرم)، ۶/۵ میکرولیتر کیت SYBR®Premix Ex TaqTM II (تاکارا، رژاپن)، ۰/۵ μL از هر دو پرایمر های F/R و ۵/۴ μL آب مقطر است. همه واکنش ها به صورت تکرار سه تابی انجام شدند. برای هر واکنش q-PCR برنامه دمایی ذیل انجام گردید: ۳ دقیقه دناتوراسیون اولیه در دمای ۹۵ درجه سانتی گراد، ۴۰ چرخه شامل ۳۰ ثانیه دناتوراسیون در دمای ۹۴ درجه سانتی گراد، ۳۰ ثانیه دمای اتصال پرایمر در دمای ۶۰ درجه سانتی گراد و ۳۰ ثانیه طویل سازی در دمای ۷۲ درجه سانتی گراد. درنهایت، منحنی ذوب با افزایش دما از ۷۲ درجه سانتی گراد به ۹۵ درجه سانتی گراد (۱ درجه سانتی گراد در ثانیه) رسم شد. برای محاسبه بیان ژن، چرخه های آستانه (CT) توسط نرم افزار Rotor-Gene Real-time analysis vol.6 تغییرات نسبی، بیان ژن ها توسط روش لیواک Ct $\Delta\Delta$ -۲ با

LINC00696 LINC00852 LINC00847
LINC00690 LINC00693 LINC00692
و LRRC2-AS1 انتخاب گردیدند. در مرحله بعد، از میان
های آپوپتوز مطالعه شده ارتباط داشتند و انتخاب شدند (شکل
شماره ۱). برای تأیید نتایج مطالعه *in silico* LncRNA PVT1
به عنوان یک LncRNA اونکوژن مطالعه گردید.

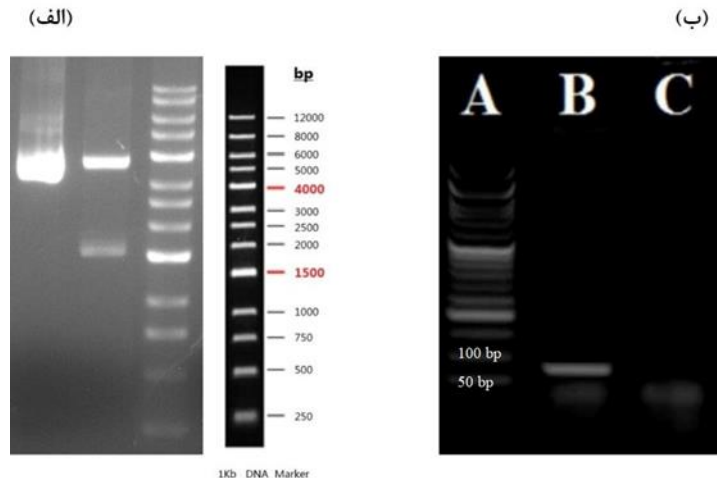
های به دست آمده در پایگاه داده Cbioportal کپی شد و
هایی که بالاترین Alteration lncRNA گردیدند. فرمت FASTA هر lncRNA به پایگاه داده LncDisease داده شد و هایی دارای پروفایل بیانی بالاتر انتخاب گردیدند. تعداد ۲۰۰ ژن دخیل در سرطان کلیه شناسایی شد. بر اساس نتایج اولیه، ۱۵ مورد lncRNA با پروفایل بیانی بالای ۲/۵ شامل CDKN2A، CARMN، LINC00312، GHRLOS، ESRG و EGOT



شکل شماره ۱. انتخاب lncRNA در سرطان کلیه. پروفایل بیانی بالای ۲/۵ داشتند، انتخاب شدند.

را تأیید کرد. پس از انتقال پلاسمید نوترکیب به *E. coli* سویه TOP10، صحت ورود پلاسمید توسط کشت کلوبنی ها روی آمپی سیلین در مرحله نخست و سپس انجام واکنش PCR با پرایمرهای اختصاصی ژن buforin II تأیید شد. حضور باند ۶۶ جفت بازی با استفاده از پرایمرهای اختصاصی F و R ژن buforin II مؤید صحت انتقال پلاسمید بود (شکل شماره ۲. ب).

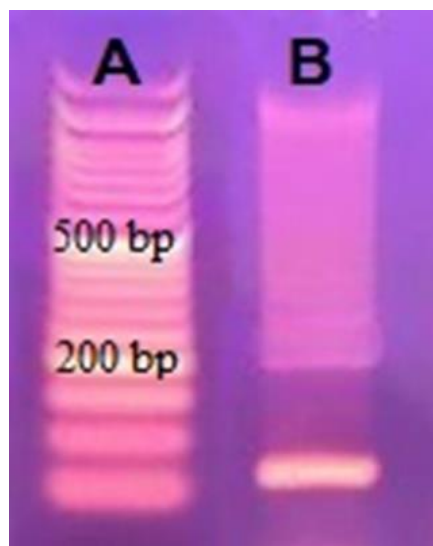
تأیید فرایند کلوبنینگ و ساخت وکتور نوترکیب: صحت سنتز پلاسمیدها توسط شرکت سازنده با استفاده از توالی بابی DNA و هضم آنزیمی (با کمک آنزیم های محدود کننده NdeI-StuI) تأیید گردید (شکل شماره ۲. الف). همان طور که در عکس مشخص است، پس از هضم آنزیمی دو باند ۳۸۵۹ و ۱۶۱۱ جفت بازی حاوی وکتور و باند buforin II صحت سنتز وکتور نوترکیب جفت بازی حاوی ژن buforin II



شکل شماره ۲. نتایج مربوط به صحت سنتر و ترانسفورم پلاسمید. الف. هضم آنزیمی و کتور pcDNA3.1(+) حاوی ژن buforin II، نتایج حاصل از هضم آنزیمی باند ۳۸۵۹ جفت بازی و باند ۱۶۱۱ جفت باز است. مارکر DNA یک کیلو جفت بازی؛ ب. واکنش PCR بر روی پلاسمید نوترکیب استخراج شده؛ شماره B. باند مربوط به ژن (bp 66) buforin II (pcDNA3.1(+)-buforin II) بر روی و کتور خالی C. و کتور خالی با پرایمرهای ژن buforin II و A. مارکر ۵۰ جفت بازی شرکت یکتا تجهیز آزمایشگاه.

در حالی است که گروه شاهد که هیچ گونه پلاسمیدی را دریافت نکرده بودند، پس از افزودن آنتی بیوتیک نومایسین به محیط کشت آنها از بین رفتند. از سوی دیگر، انجام واکنش RT-PCR با پرایمرهای اختصاصی ژن buforin II روی سلول‌های لیپوفکت شده سبب تشکیل باند ۶۶ جفت بازی گردید و صحت واکنش لیپوفکشن تأیید شد (شکل شماره ۳).

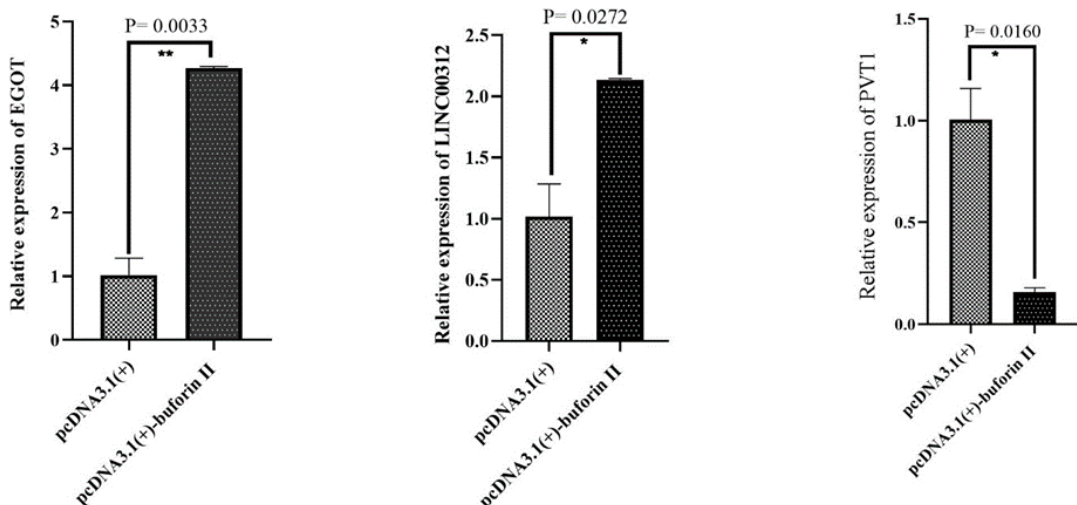
تأیید صحت لیپوفکشن: در شرایط یکسان سلول‌های ACHN به سه گروه تقسیم شدند. گروه اول پلاسمیدهای نوترکیب (pcDNA3.1(+)-buforin II) را دریافت کردند (گروه تیمار) و گروه دوم پلاسمید خالی را دریافت نمود (گروه کنترل). گروه سوم نیز به عنوان گروه شاهد هیچ پلاسمیدی دریافت نکرد. مقاومت و زنده ماندن سلول‌های ترانسفکت شده با وکتورها در برابر آنتی بیوتیک نومایسین، حضور وکتورها در سلول‌های مقاوم شده را تأیید می‌کند، این



شکل شماره ۳. محصولات تکثیر یافته بر cDNA سلول‌های ACHN ترانسفکت شده با وکتورهای نوترکیب به منظور ارزیابی بیان ژن buforin II بر روی ژل آگارز ۱ درصد؛ شماره B. باند مربوط به (bp 66) buforin II (pcDNA3.1(+)-buforin II) بر روی cDNA سلول A. مارکر ۵۰ جفت بازی (شرکت اسمو بایو).

تیمار)، میزان بیان lncRNA EGOT و LINC00312 افزایش معنی‌داری را نسبت به سلول‌های گروه کنترل نشان دادند ($P < 0.05$). از سوی دیگر، بیان PVT1 در سلول‌های دست‌ورزی‌شده نسبت به سلول‌های کنترل، به شکل معنی‌داری نشان از کاهش بیان داشت ($P < 0.05$) (شکل شماره ۴). این نتایج مؤید آن است که lncRNA‌های کاندیدشده در این مطالعه با آزمون‌های آزمایشگاهی تأیید گردید و بیان ژن buforin II باعث تغییر بیان ژن‌های مورد مطالعه شده است.

نتایج تغییر بیان ژن‌ها: بر اساس نتایج مطالعات *in silico* در این پژوهش، دو نام‌های lncRNA و EGOT LINC00312 برای مطالعات مولکولی انتخاب شدند. علاوه بر این، lncRNA PVT1 نیز برای تأیید نتایج آزمایش گردید. ارتباط افزایش یا کاهش بیان ژن‌های بالا در دو گروه سلول تیمار و کنترل به روش real time RT-PCR بررسی شد و نتایج زیر به دست آمد. در سلول‌های ترانسفکت شده با وکتور pcDNA3.1(+)-buforin II (گروه pcDNA3.1(+)-buforin II) نتایج مطالعه شده است.



شکل شماره ۴. مقایسه سطح بیان lncRNA‌های مطالعه شده در گروه ترانسفکت شده با وکتور نوترکیب ACHN. تغییر بیان در گروه ترانسفکت شده با وکتور نوترکیب pcDNA3.1(+)-buforin II در مقایسه با وکتور خالی.

lncRNA PVT1 کاهش معنی‌داری را در سلول‌های دست‌ورزی شده با وکتور نوترکیب در مقایسه با سلول‌های گروه کنترل نشان داد.

لی و همکارانش در سال ۲۰۱۵، به بررسی آثار matrine بر روند القای آپوپتوز در سلول‌های سرطانی انسانی MCF-7 و سازوکارهای مولکولی مرتبط با آن پرداختند و پس از بررسی‌های پرتوئینی نتیجه گرفتند که تکثیر سلول‌های MCF-7 به طور قابل ملاحظه‌ای توسط پیتید matrine مهار شد و همچنین سبب القای آپوپتوز در سلول‌های سرطان سینه MCF-7 می‌شود که به Bax مرتبط است (۱۵).

ژو و همکاران در سال ۲۰۲۲، گزارشی درباره پیتیدهای ضدسرطانی ارائه دادند. این محققان اعلام کردند که به علت ساختار فیزیولوژیکی پیچیده، ریزمجیط و مواعظ

بحث و نتیجه‌گیری

در این مطالعه که درباره سرطان سلول کلیوی انجام شد، سعی بر این بود تا با بیان پیتید II, buforin II تأثیر آن در تغییر بیان lncRNA‌های انتخابی در رده سلول سرطانی ACHN بررسی گردد. با استفاده از پایگاه‌های داده آنلاین، real time RT-PCR-هایی انتخاب شدند. از واکنش lncRNA برای ارزیابی تغییر بیان‌ها تحت تأثیر پیتید buforin II استفاده گردید. تجزیه و تحلیل نتایج حاصل از واکنش real time RT-PCR نشان‌دهنده تغییر در بیان lncRNA‌های کاندیدشده است، به طوری که تأثیر پیتید LINC00312 و EGOT در سلول‌هایی که تحت دست‌ورزی با وکتور نوترکیب قرار گرفته بودند، نسبت به گروه کنترل افزایش بیان محسوسی را نشان دادند. از سوی دیگر، بیان

تغییر بیان lncRNAهای رده سلوالی ACHN بررسی کردیم و به نتایج مشابهی دست یافتیم. پس از کاندید lncRNAها در سرطان کلیه، مطالعات آزمایشگاهی انجام شد. ما پلاسمید نوترکیب II-buforin II (+)pcDNA3.1(+) (به عنوان گروه تیمار) و همچنین پلاسمید خالی pcDNA3.1 (+) (به عنوان گروه کنترل) را در رده سلوالی ACHN ترنسفکت کردیم. پس از اطمینان از واکنش ترنسفکشن و غربالگری سلوول ها، تغییر بیان lncRNAها بررسی و تأیید شد. همسو با این مورد، پارکر و همکاران مطالعه ای را روی پپتید buforin IIb انجام دادند. در این پژوهش، آثار هدف گیری سلوالی، نفوذ سلوالی و ضد تکثیر IIb buforin برای کمک به هدف قرار دادن دوز سیتو توکسیک سایر داروها به سلوول های سرطانی استفاده گردید. نتایج نشان دهنده این مطلب بود که تأثیر سیتو توکسیک در سلوول های سرطانی تخدمان در گروه استفاده کننده buforin IIb بیشتر از گروه کنترل بود (۱۸). همسو با مطالعات پیشین، نتایج مطالعه حاضر نیز حاکی از تغییر lncRNA بیان lncRNAهای شناسایی شده است. از آنجاکه PVT1 به عنوان یک انکوژن شناسایی گردیده است و مطالعات عنوان کرداند که PVT1 می تواند به عنوان یک نشانگر زیستی برای پیش بینی بیماران RCC عمل کند (۱۹)، کاوش بیان آن تحت تأثیر پپتید II buforin می تواند نشان دهنده فعال شدن مسیرهای آپوپتوز سلوالی در سلوول ACHN تحت مطالعه باشد.

با توجه به نتایج تجزیه و تحلیل آماری و همچنین مشاهدات میکروسکوپی کشت سلوالی می توان چنین اعلام کرد که ژن II buforin پس از انجام فرایند لیووفکشن، درون lncRNA سلوول های سرطانی بیان شده و روی سلوول و بیان lncRNA های منتخب تأثیر گذاشته است. بر اساس نتایج آماری این پژوهش، بیان ژن II buforin در سلوول های سرطان کلیه سبب تغییر بیان معنی داری در lncRNAهای PVT1، EGOT و LINC00312 می شود و می توان این مطلب را عنوان کرد که به تغییر مسیرهای سلوول سرطانی و فعال شدن مسیرهای آپوپتوز سلوالی منجر می گردد. بر اساس نتایج این مطالعه، پپتید buforin II ممکن است آپوپتوز سلوالی را در سلوول های رده

فیزیولوژیکی متعدد، دسترسی داروهای ضد سرطان سنتی به محل تومور به شدت محدود شده است. پپتیدهای نفوذ کننده به سلوول معمولاً از ۵ تا ۳۰ اسید آمینه تشکیل شده اند و می توانند به عنوان ناقل مولکولی برای تسهیل عبور داروهای درمانی از موانع فیزیولوژیکی استفاده گرددند. تا به حال، پپتیدها به طور گسترده در بسیاری از راهبردهای درمان ضد سرطان استفاده شده اند و به عنوان یک انتخاب بالقوه عالی برای درمان سرطان عمل می کنند؛ با این حال، معایب آن ها مانند عدم اختصاصیت سلوالی، مدت کوتاه اثر، پایداری ضعیف در داخل بدن، مشکلات سازگاری (به عنوان مثال ایمنی زایی)، اثربخشی درمانی ضعیف و تشکیل متابولیت های ناخواسته، کاربرد بیشتر آن ها را در درمان سرطان محدود کرده است. سازو کارهای جذب سلوالی پپتیدها عمده شامل اندوسیتوز و نفوذ مستقیم است؛ اما هنوز این مسئله بسیار بحث برانگیز است. راهبرد تحويل داروی مبتئی بر پپتید را نیز می توان با طراحی هوشمندانه یا اصلاحات شیمیابی برای توسعه نسل بعدی پپتید ها با قابلیت نفوذ سلوالی، پایداری و گزینش پذیری بهبود بخشید (۱۶).

وکیلی و همکاران طی مطالعه ای در سال ۲۰۲۳ اعلام کردند که پپتیدهای ضد میکروبی بخشی از دستگاه ایمنی ذاتی گونه های مختلف هستند. علاوه بر مطالعات گسترده درباره کاربرد احتمالی آن ها به عنوان آنتی بیوتیک های ضد باکتریابی و ضدقارچی، پپتیدهای ضد میکروبی همچنین برای بهبود زخم، آثار ضد التهابی و تعديل کننده دستگاه ایمنی تحت بررسی هستند. علاوه بر این، عملکرد و مزایای پپتیدهای ضد میکروبی در طراحی و تولید عوامل ضد سرطان ارزیابی شده است. همسو با این امر، تأثیر پپتیدهای ضد میکروبی طبیعی یا مشتقات مصنوعی آن ها بر سمیت سلوالی سلوول های طبیعی و سرطانی تأیید گردیده است؛ همچنین برخی از پپتیدهای ضد میکروبی (یا مشتقات آن ها) به عنوان پپتیدهای نفوذ کننده سلوول خاص عمل می کنند که آن ها را برای هدف قرار دادن یک بخش سیتو توکسیک یا یک حامل دارو به سوی سلوول های سرطانی مناسب می کند (۱۷).

مانیز در این مطالعه، تأثیر بیان پپتید II buforin را در

سرطانی کلیه (ACHN) فعال کند.

سپاس‌گزاری

این مقاله برگرفته از پایان‌نامه کارشناسی ارشد ژنتیک مولکولی مصوب دانشگاه آزاد اسلامی واحد شهرکرد است. بدین‌وسیله از همکاران محترم مرکز تحقیقات بیوتکنولوژی دانشگاه آزاد اسلامی شهرکرد صمیمانه تشکر و قدردانی می‌شود. این پژوهه در کمیته اخلاق دانشگاه آزاد اسلامی واحد شهرکرد با شناسه IR.IAU.SHK.REC.1402.014 تصویب گردیده و همه مراحل مطالعه درباره رده سلوی سرطانی انجام‌شده است.

تعارض منافع

نتایج این مطالعه با منافع نویسنده‌گان تعارض ندارد.

کد اخلاق

IR.IAU.SHK.REC.1402.014

References

- ## References

 - Chen Z, Han F, Du Y, Shi H, Zhou W. Hypoxic microenvironment in cancer: molecular mechanisms and therapeutic interventions. *Signal Transduct Target Ther* 2023; 17:8:70. doi: 10.1038/s41392-023-01332-8.
 - Colomer-Lahiguera S, Steimer M, Ellis U, Eicher M, Tompson M, Corbière T, et al. Patient and public involvement in cancer research: A scoping review. *Cancer Med* 2023; 16. doi: 10.1002/cam4.6200.
 - Nabi S, Kessler ER, Bernard B, Flraig TW, Lam ET. Renal cell carcinoma: a review of biology and pathophysiology. *F1000Res* 2018;7: 1-10. doi: 10.12688/f1000research.13179.1.
 - Safarpour-Dehkordi M, Doosti A, Jami MS. Integrative analysis of lncRNAs in kidney cancer to discover a new lncRNA (LINC00847) as a therapeutic target for staphylococcal enterotoxin tst gene. *Cell J* 2020;22:101. doi: 10.22074/cellj.2020.6996.
 - Jin L, Quan J, Pan X, He T, Hu J, Li Y, et al. Identification of lncRNA EGOT as a tumor suppressor in renal cell carcinoma. *Mol Med Rep* 2017;16:7072-9. doi: 10.3892/mmr.2017.7470.
 - Guo Z, Wang YH, Xu H, Yuan CS, Zhou HH, Huang WH, et al. LncRNA linc00312 suppresses radiotherapy resistance by targeting DNA-PKcs and impairing DNA damage repair in nasopharyngeal carcinoma. *Cell Death Dis* 2021;12:69. doi: 10.1038/s41419-020-03302-2.
 - Li M, Wang Y, Cheng L, Niu W, Zhao G, Raju JK, et al. Long non-coding RNAs in renal cell carcinoma: a systematic review and clinical implications. *Oncotarget* 2017;8:48424-35. doi: 10.18632/oncotarget.17053.
 - Schweizer F. Cationic amphiphilic peptides with cancer-selective toxicity. *Eur J Pharmacol* 2009; 625:190-4. doi:10.1016/j.ejphar.2009.08.043.
 - Park CB, Yi KS, Matsuzaki K, Kim MS, Kim SC. Structure–activity analysis of buforin II, a histone H2A-derived antimicrobial peptide: the proline hinge is responsible for the cell-penetrating ability of buforin II. *Proc Natl Acad Sci U S A* 2000; 97:8245-50. doi: 10.1073/pnas.150518097.
 - Lee HS, Park CB, Kim JM, Jang SA, Park IY, Kim MS. Mechanism of anticancer activity of buforin IIb, a histone H2A-derived peptide. *Cancer Lett* 2008; 271:47-55. doi: 10.1016/j.canlet.2008.05.041.
 - Safarpour M, Kazemi Z, Doosti E, Doosti A. Cloning tagD gene from helicobacter pylori in PFLAG-CMV-3 eukaryotic vector to generate a DNA vaccine. *JIUMS* 2016; 14:43-50. 10.29252/JMJ.14.4.43.
 - Seim I, Jeffery PL, Thomas PB, Walpole CM, Maughan M, Fung JN, et al. Multi-species sequence comparison reveals conservation of ghrelin gene-derived splice variants encoding a truncated ghrelin peptide. *Endocrine* 2016; 52:609-17. doi: 10.1007/s12020-015-0848-7.
 - Safarpour-Dehkordi M, Samimi-Dehkordi N, Asgari M, Khademi R, Kabirian-Dehkordi M, Amiri M, et al. Co-expression network analysis for the identification of potential prostate cancer genes and in vitro confirmation of their expression in cell model in the presence of Staphylococcal tsst-1 gene. *Nucleosides Nucleotides Nucleic Acids* 2023; 17:1-6. doi:10.1080/15257770.2023.2249544.
 - Safarpour-Dehkordi M, Doosti A, Jami MS. Impacts of the Staphylococcal Enterotoxin H on the Apoptosis and lncRNAs in PC3 and ACHN. *Mol Gen Microbiol Virol* 2020; 35:180-8. doi: 10.3103/S0891416820030076.
 - Li H, Li X, Bai M, Suo Y, Zhang G, Cao X. Matrine inhibited proliferation and increased apoptosis in human breast cancer MCF-7 cells via upregulation of Bax and downregulation of Bcl-2. *Int J Clin Exp Patho* 2015; 8:14793.
 - Zhou M, Zou X, Cheng K, Zhong S, Su Y, Wu T, et al. The role of cell-penetrating peptides in potential anti-cancer therapy. *Clin Transl Med* 2022;12: e822. doi: 10.1002/ctm2.822.
 - Vakili B, Jahanian-Najafabadi A. Application of Antimicrobial Peptides in the Design and Production of Anticancer Agents. *Int J Pept Res Ther* 2023; 20; 29:28.
 - Parker JP, Devocelle M, Morgan MP, Marmion CJ. Derivatisation of buforin IIb, a cationic heicosapeptide, to afford its complexation to platinum (ii) resulting in a novel platinum (ii)-buforin IIb conjugate with anti-cancer activity. *Dalton Trans* 2016;45: 13038-41. doi: 10.1039/c6dt01510g.
 - Li M, Wang Y, Cheng L, Niu W, Zhao G, Raju JK, et al. Long non-coding RNAs in renal cell carcinoma: a systematic review and clinical implications. *Oncotarget* 2017; 7; 8:48424. doi: 10.18632/oncotarget.17053.